

Typoszereg M / MG

Zawory magnetyczne dla czynników chłodniczych

Dane techniczne



Zastosowanie

Dostosowane do pracy ze wszystkimi czynnikami chłodniczymi gazowymi i ciekłymi, oprócz amoniaku NH₃. Odporny i wytrzymały na obciążenia zmienny trzpień prowadzący, umożliwia zastosowanie w szybkich cyklach pracy ciągłej.

Wykonanie / Dane techniczne

- Zawór w stanie bezprądowym zamknięty
- Cewka elektromagnetyczna hermetyzowana z wtyczką bezpieczeństwa wg. DIN 43650, Stopień ochrony IP65
- Kostka zaciskowa może być skręcana o dowolne 90°
- Pełna hermetyzacja zaworu przez podwójne teflonowe uszczelnienie
- Dodatkowe uszczelnienie cewki zabezpieczające przed wilgocią
- Wykonanie według EN 60335-1
- Ekstremalnie niskie przecieki w gnieździe zaworu
- Seria M: typ standardowy
- Seria MG: typ z tłumionym otwarciem.

Gniazdo z tłumikiem szumów przy otwarciu.

Optymalne tłumienie szumów występuje przy zabudowie zaworu w obiegu ciekłego freonu, przy temperaturach czynnika -20°C do +80°C. Stosując zawory elektromagnetyczne typu MGS oraz MGD, należy używać oryginalnych cewek prądu stałego 230 V DC. Do nisko szumowych zaworów elektromagnetycznych prądu przemiennego 230 V AC, stosować cewki typu: MC 102-227, 230 V AC \leftarrow wraz z wtyczką zasilającą, z wbudowanym prostownikiem prądu zmiennego.

- M(G)D są zaworami bezpośredniego sterowania, nie jest wymagana różnica ciśnień do otwarcia zaworu;
- M(G)S są zaworami typu servo, minimalna różnica ciśnień wymagana do otwarcia zaworu wynosi 0,05 bar;
- Temperatura czynnika w liniach: gazowej, ssącej i gorącego gazu.
 - Typ M: - 45°C do + 125°C
 - Typ MG: - 30°C do + 80°C
- Dopuszczalna temp. otoczenia: - 40° C do + 80° C
- Napięcia standardowe:
 - AC: 230 V ~ 50/60 Hz, 24 V ~ 50/60 Hz, 110 V ~ 50/60 Hz
 - DC: 12 V, 24 V, 110 V
 - 230 V ~ \leftarrow z prostownikiem we wtyczce

Inne napięcia na życzenie

- Moc znamionowa:
 - MA 062 + MD 062: 8 W AC,
 - MD 102 - MD 103: 13 W AC, 20 W DC
 - MS 103 - MS 227: 13 W AC, 20 W DC
- Max. dopuszczalne ciśnienie robocze : 35 bar
- Max. różnica ciśnień otwarcia zaworu: MOPD
 - Cewka - prąd zmienny: 30 bar
 - Cewka - prąd stały 20 W: 21 bar
- Max. Dopuszczalny spadek ciśnienia: dla zaworów sterowanych pilotem max. spadek ciśnienia przy otwartym zaworze nie powinien przekroczyć 2 bar . Szczególnie ważne przy stosowaniu w przewodach z gorącym gazem, w układach sprężarek zespolonych (powerpack)
- Materiał:
 - Korpus: Mosiądz
 - Tłok nurnikowy: stal szlachetna.
 - Uszczelnienie: PTFE / neopren

Wydajność znamionowa Q_N (kW)

Typ	Kv-wartość (m ³ /h)		Ciecz				Pary gorącego gazu				Gaz ssący			
			R134a	R22	R407C	R404A R507	R134a	R22	R407C	R404A R507	R134a	R22	R407C	R404a R507
MA 062	0.17	Sterowane bezpośrednio - różnica ciśnień przy otwarciu zaworu nie wymagana	5.1	5.5	5	3.8	1.12	1.46	1.39	1.29				
MD 062	0.17		5.1	5.5	5	3.8	1.12	1.46	1.39	1.29				
M(G)D 102	0.22		6.7	7.2	7	4.9	1.44	1.89	1.80	1.66				
M(G)D 103	0.23		7.0	7.5	7	5.2	1.51	1.98	1.88	1.74				
M(G)S 103	0.9	Sterowanie typu serwo - min. różnica ciśnień: 0,05 bar	27	29	29	20	5.93	7.33	7.37	6.77	1.5	2.1	1.92	1.8
M(G)S 104	0.9		27	29	29	20	5.93	7.33	7.37	6,77	1.5	2.1	1.92	1.8
M(G)S 124	1.6		48	52	51	35.9	10.5	13.7	13.10	12.1	2.7	3.6	3.42	3.16
M(G)S 125	1.6		48	52	51	35.9	10.5	13.7	13.10	12.1	2.7	3.6	3.42	3.16
M(G)S 165	2		61	65	63	45	13.2	17.2	16.38	15.1	3.4	4.55	4.27	3.95
M(G)S 167	2		61	65	63	45	13.2	17.2	16.38	15.1	3.4	4.55	4.27	3.95
M(G)S 227	4		122	130	127	90	26.3	34.4	32.76	30.3	6.8	9.1	8.5	7.9

Wydajność znamionowa Q_N w oparciu o następujące warunki pracy:

Czynnik	Temperatura kondensacji t_c (°C)	Temperatura parowania t_o (°C)	Spadek ciśnienia na zaworze Δp (bar)
Ciecz	25	- 10	0.4
Pary gorącego gazu	25	- 10	1
Gaz ssący	25	- 10	0.15

Dobór zaworu dla innych warunków pracy w oparciu o podane niżej tabele.

• Dobór zaworu dla przewodu czynnika ciekłego

$$Q_N = Q_O \times f_{TF} \times f_{\Delta PF}$$

Q_N : Wydajność znamionowa (wartość katalogowa)

Q_O : Wydajność chłodnicza

f_{TF} : Poprawka w zależności od zmiany temperatury czynnika ciekłego oraz temperatury parowania

$f_{\Delta PF}$: Poprawka dla spadku ciśnienia ponad zaworem

Współczynnik korekcyjny f_{TF} dla zmiany wydajności zaworu w zależności od temperatury pracy

t_c (°C)	R 134a						R 22						R 407C						R 404A / R 507					
	Temperatura parowania t_o (°C)																							
	+10	±0	-10	-20	-30	-40	+10	±0	-10	-20	-30	-40	+10	±0	-10	-20	-30	+10	±0	-10	-20	-30	-40	
0	-	-	0.80	0.83	0.85	0.88	-	-	0.82	0.83	0.85	0.88	-	-	0.8	0.8	0.8	-	-	0.73	0.76	0.79	0.83	
+5	-	-	0.83	0.86	0.89	0.93	-	-	0.85	0.87	0.89	0.91	-	0.8	0.8	0.8	0.9	-	-	0.77	0.8	0.84	0.88	
+10	-	0.84	0.87	0.91	0.94	0.97	-	0.86	0.88	0.90	0.92	0.95	-	0.8	0.9	0.9	0.9	-	0.79	0.82	0.85	0.89	0.94	
+15	-	0.88	0.91	0.94	0.98	1.02	-	0.90	0.92	0.94	0.96	0.99	0.9	0.9	0.9	0.9	1.0	-	0.84	0.87	0.91	0.95	1.0	
+20	0.89	0.92	0.95	0.99	1.03	1.08	0.92	0.94	0.96	0.98	1.00	1.03	0.9	0.9	0.9	1.0	1.0	0.86	0.89	0.93	0.97	1.02	1.08	
+25	0.94	0.96	1.00	1.05	1.09	1.14	0.96	0.98	1.00	1.03	1.05	1.09	0.9	1.0	1.0	1.0	1.1	0.92	0.96	1.05	1.05	1.11	1.18	
+30	0.99	1.02	1.06	1.12	1.16	1.22	1.01	1.02	1.05	1.08	1.10	1.14	1.0	1.0	1.0	1.1	1.2	0.99	1.03	1.08	1.14	1.21	1.29	
+35	1.04	1.08	1.12	1.18	1.24	1.30	1.05	1.07	1.10	1.13	1.16	1.20	1.1	1.1	1.1	1.2	1.2	1.08	1.13	1.19	1.26	1.34	1.44	
+40	1.10	1.14	1.19	1.26	1.32	1.39	1.10	1.12	1.15	1.19	1.22	1.26	1.1	1.2	1.2	1.3	1.3	1.18	1.24	1.32	1.4	1.5	1.63	
+45	1.18	1.22	1.28	1.35	1.42	1.50	1.17	1.19	1.22	1.26	1.29	1.34	1.2	1.3	1.3	1.4	1.4	1.32	1.39	1.48	1.59	1.72	1.88	
+50	1.25	1.24	1.37	1.45	1.53	1.62	1.23	1.26	1.29	1.33	1.37	1.42	1.3	1.4	1.4	1.5	1.6	1.5	1.59	1.7	1.85	2.02	2.23	
+55	1.35	1.41	1.48	1.58	1.67	1.78	1.30	1.33	1.37	1.42	1.46	1.52	1.4	1.5	1.6	1.7	1.8	1.74	1.87	2.02	2.22	2.47	2.79	
+60	1.46	1.55	1.61	1.73	1.84	1.97	1.38	1.41	1.46	1.51	1.56	1.63	-	-	-	-	-	-	-	-	-	-	-	

Współczynnik korekcyjny $f_{\Delta PF}$ dla zmiany wydajności zaworu w zależności od spadku ciśnienia w zaworze

Spadek ciśnienia w zaworze Δp (bar)	0.05	0.10	0.15	0.20	0.25	0.30	0.35	0.40	0.45	0.50	0.55	0.60	0.65	0.70
Współczynnik korekcyjny $f_{\Delta PF}$	2.83	2	1.63	1.41	1.26	1.15	1.07	1	0.94	0.89	0.85	0.82	0.78	0.76

• Wydajność zaworu dla przewodu gorącego gazu (kW)

Typ	Spadek ciśnienia zaworu Δp	temperatura parowania $t_0 = -10\text{ }^\circ\text{C}$, temperatura gorącego gazu $t_H = +25\text{ }^\circ\text{C}$, $\Delta t_{c2u} = 1\text{ K}$																	
		R 134a temperatura kondensacji $t_c\text{ (}^\circ\text{C)}$					R 22 temperatura kondensacji $t_c\text{ (}^\circ\text{C)}$					R 407C temperatura kondensacji $t_c\text{ (}^\circ\text{C)}$				R 404A / R 507 temperatura kondensacji $t_c\text{ (}^\circ\text{C)}$			
		+ 25	+ 30	+ 40	+ 50	+ 60	+ 25	+ 30	+ 40	+ 50	+ 60	+ 25	+ 30	+ 40	+ 50	+ 25	+ 30	+ 40	+ 50
MA 062 MD 062	0.2	0.54	0.55	0.57	0.58	0.57	0.68	0.7	0.74	0.76	0.78	0.62	0.65	0.68	0.7	0.6	0.6	0.58	0.53
	0.5	0.83	0.86	0.89	0.90	0.89	1.06	1.1	1.15	1.19	1.22	0.98	1.02	1.08	1.11	0.93	0.93	0.9	0.83
	1.0	1.12	1.17	1.23	1.25	1.24	1.46	1.51	1.6	1.67	1.7	1.39	1.44	1.52	1.57	1.29	1.29	1.26	1.16
	1.5	1.31	1.38	1.47	1.5	1.5	1.74	1.81	1.93	2.01	2.06	1.71	1.77	1.87	1.93	1.54	1.55	1.52	1.41
	2.0	1.44	1.52	1.64	1.70	1.70	1.94	2.04	2.19	2.29	2.34	1.96	2.04	2.15	2.22				
M(G)D 102	0.2	0.69	0.72	0.75	0.75	0.73	0.77	0.91	0.96	0.99	1.00	0.81	0.83	0.88	0.91	0.77	0.77	0.74	0.68
	0.5	1.07	1.11	1.15	1.17	1.16	1.37	1.42	1.49	1.55	1.58	1.27	1.32	1.39	1.44	1.2	1.2	1.17	1.07
	1.0	1.44	1.51	1.60	1.62	1.61	1.89	1.96	2.08	2.15	2.2	1.80	1.87	1.97	2.04	1.66	1.67	1.63	1.5
	1.5	1.69	1.78	1.89	1.94	1.93	2.25	2.34	2.50	2.60	2.66	2.21	2.29	2.41	2.49	1.99	2	1.96	1.82
	2.0	1.86	1.97	2.12	2.2	2.2	2.52	2.64	2.83	2.97	3.03	2.55	2.64	2.79	2.88				
M(G)D 103	0.2	0.72	0.75	0.78	0.78	0.77	0.8	0.95	1	1.03	1.05	0.84	0.87	0.92	0.95	0.8	0.8	0.78	0.71
	0.5	1.12	1.16	1.21	1.22	1.21	1.43	1.48	1.56	1.62	1.65	1.33	1.38	1.46	1.50	1.26	1.26	1.22	1.12
	1.0	1.51	1.58	1.67	1.69	1.68	1.98	2.05	2.17	2.25	2.3	1.88	1.95	2.06	2.13	1.74	1.74	1.7	1.57
	1.5	1.77	1.86	1.98	2.03	2.02	2.35	2.45	2.61	2.72	2.78	2.31	2.39	2.52	2.61	2.08	2.09	2.05	1.9
	2.0	1.94	2.06	2.22	2.3	2.3	2.64	2.76	2.96	3.1	3.17	2.66	2.76	2.91	3.01				
M(G)S 103 M(G)S 104	0.2	2.83	2.93	3.04	3.06	3.02	4.2	4.33	4.55	4.7	4.79	3.60	3.71	3.90	4.03	3.09	3.09	3.00	2.74
	0.5	4.37	4.53	4.73	4.78	4.72	6.55	6.76	7.13	7.38	7.52	5.61	5.79	6.11	6.33	4.89	4.89	4.80	4.37
	1.0	5.93	6.19	6.52	6.63	6.57	9.02	9.35	9.91	10.3	10.5	7.73	8.01	8.49	8.83	6.77	6.86	6.69	6.09
	1.5	6.93	7.29	7.77	7.95	7.92	10.8	11.2	11.9	12.4	12.7	9.26	9.60	10.20	10.62	8.14	8.14	8.06	7.37
	2.0	7.60	8.07	8.66	9.00	9.00	12.1	12.6	13.5	14.2	14.5	10.37	10.80	11.57	12.17				
M(G)S 124 M(G)S 125	0.2	5.04	5.21	5.4	5.44	5.36	6.4	6.6	6.94	7.17	7.3	5.86	6.07	6.41	6.62	5.6	5.6	5.44	4.96
	0.5	7.77	8.07	8.4	8.5	8.39	9.97	10.3	10.9	11.2	11.5	9.27	9.6	10.14	10.47	8.76	8.76	8.52	7.8
	1.0	10.5	11	11.6	11.8	11.7	13.7	14.3	15.1	15.7	16	13.10	13.57	14.33	14.81	12.1	12.1	11.8	10.9
	1.5	12.3	13	13.8	14.1	14.1	16.4	17.1	18.2	19	19.4	16.05	16.63	17.56	18.13	14.5	14.6	14.3	13.2
	2.0	13.5	14.3	15.5	16	16	18.4	19.2	20.6	21.6	22.1	18.53	19.20	20.27	20.94				
M(G)S 165 M(G)S 167	0.2	6.29	6.51	6.76	6.8	6.7	8	8.25	8.68	8.96	9.12	7.33	7.59	8.01	8.28	7	7	6.8	6.2
	0.5	9.72	10.1	10.5	10.6	10.5	12.5	12.9	13.6	14.1	14.3	11.58	12.0	12.67	13.09	10.9	10.9	10.6	9.7
	1.0	13.2	13.7	14.5	14.7	14.6	17.2	17.8	18.9	19.6	20	16.38	16.97	17.92	18.51	15.1	15.2	14.8	13.6
	1.5	15.4	16.2	17.2	17.7	17.6	20.5	21.3	22.7	23.7	24.2	20.06	20.78	21.95	22.67	18.1	18.2	17.9	16.5
	2.0	16.9	17.9	19.3	20	20	23	24	25.7	27	27.6	23.16	24.0	25.34	26.17				
MS 227	0.2	12.6	13	13.5	13.6	13.4	16	16.5	17.4	17.9	18.2	14.65	15.18	16.03	16.55	14	14	13.6	12.4
	0.5	19.4	20.1	21	21.2	21	24.9	25.8	27.1	28.1	28.6	23.16	24.00	25.34	26.17	21.9	21.9	21.3	19.5
	1.0	26.3	27.5	29	29.5	29.2	34.4	35.6	37.8	39.2	40	32.76	33.94	35.84	37.01	30.3	30.4	29.7	27.3
	1.5	30.8	32.4	34.5	35.3	35.2	41	42.6	45.4	47.4	48.4	40.12	41.56	43.89	45.33	36.3	36.5	35.8	33.1
	2.0	33.8	35.9	38.7	39.9	40	45.9	48	51.5	53.9	55.2	46.33	47.99	50.68	52.35				

Przy zmianie temperatury gorącego gazu $\pm 10\text{ }^\circ\text{C}$ zmienia się wydajność zaworu (odwrotnie proporcjonalnie) o $\pm 2,5\%$. W przypadku innych temperatur parowania t_0 podane powyżej wydajności powinny zostać pomnożone przez następujące współczynniki poprawki:

$t_0\text{ (}^\circ\text{C)}$	- 50	- 40	- 30	- 20	- 10	± 0	+ 10
R 134a	-	0.85	0.90	0.95	1	1.05	1.09
R 22	0.88	0.91	0.95	0.97	1	1.03	1.05
R 407C	0.83	0.88	0.92	0.95	1	1.01	1.06
R 404A / R 507	0.75	0.81	0.88	0.13	1	1.05	-

• Dobór zaworu dla przewodu ssącego

$$Q_N = Q_O \times f_{TS} \times f_{\Delta PS}$$

Q_N : Wydajność znamionowa (katalogowa)

Q_O : Wydajność chłodnicza

f_{TS} : Poprawka dla zmian temperatury czynnika ciekłego oraz temperatury parowania

$f_{\Delta PS}$: Poprawka dla spadku ciśnienia ponad zaworem

Współczynnik korekcyjny f_{TS} dla zmiany wydajności dla różnych temperatur roboczych

Temperatura parowania t_o (°C)	Temperatura kondensacji t_c (°C)				
	+ 60	+ 50	+ 40	+ 30	+ 20
Dla czynników chłodniczych R 134a, R 22, R 407C					
+ 10	0.98	0.86	0.78	0.71	0.66
± 0	1.19	1.05	0.95	0.86	0.79
- 10	1.48	1.29	1.16	1.05	0.96
- 20	1.88	1.62	1.44	1.31	1.19
- 30	2.42	2.08	1.83	1.65	1.59
- 40	3.20	2.71	2.37	2.13	1.92
Dla czynników chłodniczych R 404A, R 507					
+ 10	–	1.14	0.82	0.71	0.63
± 0	–	1.24	1.01	0.87	0.77
- 10	–	1.57	1.26	1.07	0.94
- 20	–	2.02	1.60	1.35	1.17
- 30	–	2.67	2.07	1.72	1.49
- 40	–	3.62	2.74	2.25	1.93

Współczynnik korekcyjny $f_{\Delta PS}$ dla zmiany wydajności w zależności od spadku ciśnienia w zaworze

Spadek ciśnienia w zaworze Δp (bar)	0.05	0.075	0.1	0.15	0.2	0.3	0.4	0.5	0.6
Współczynnik korekcyjny $f_{\Delta PS}$	1.73	1.41	1.22	1	0.87	0.71	0.61	0.55	0.5

• Oznaczenia zaworu / Zamówienie

1. Kompletny zawór z cewką

Typoszereg: _____ M S 16 5 230 V AC

wykonanie: _____

(S) = sterowany serwo
(D) = sterowany bezpośrednio
(A) = sterowany bezpośrednio, kątowny


Rozmiar zaworu: _____

Przyłącze rury w 1/8" SAE: _____

Napięcie: _____

2. Cewka magnetyczna

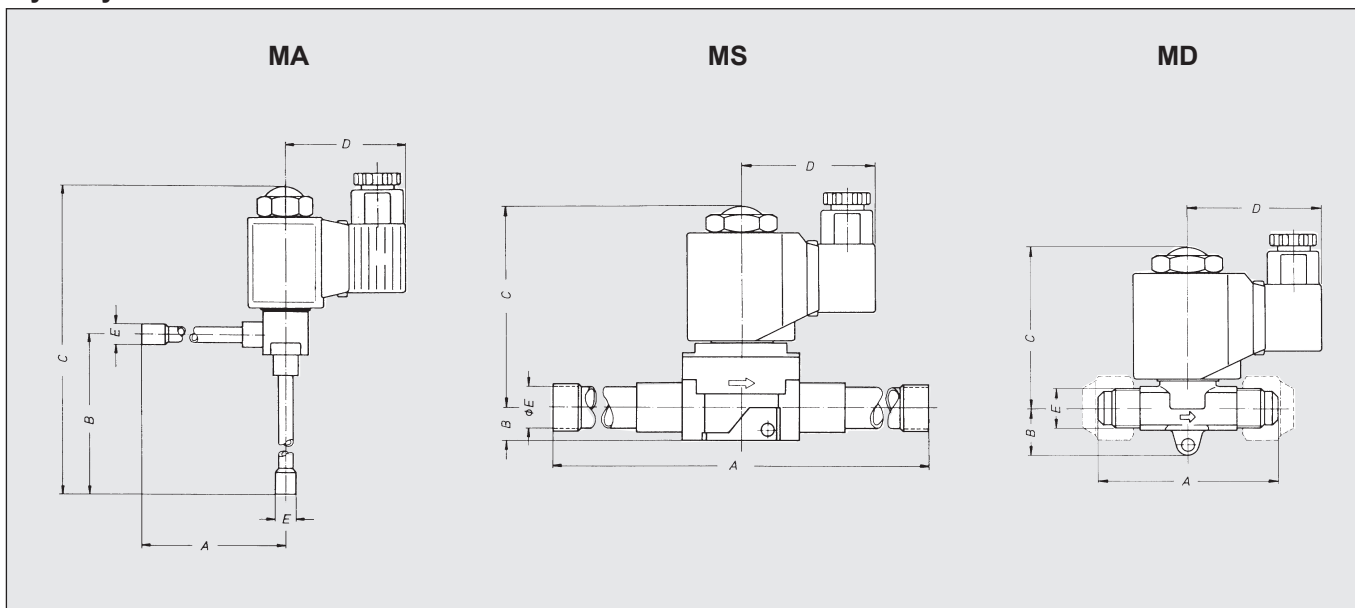
Międzynarodowa klasa bezpieczeństwa IP65, Cewka razem z wtyczką bezpieczeństwa według DIN 43650 oraz z mocowaniem kabla G11 (PG9 na zamówienie)

Zawór magnetyczny	Typ cewki	Napięcie zmienne AC 50 – 60 Hz	Moc	Napięcie stałe DC	Moc
MA 062(S)(MMS) MD 062(S)(MMS)	MC 062	230 V 110 V 24 V	8 W	–	–
MD 102(S)(MMS) MD 103(S)(MMS) MS 103-227(S)(MMS)	MC 102-227	230 V 110 V 24 V tolerancja: ± 10 %	13 W	24 V 230 V AC  z prostownikiem we wtyczce	20 W
MGD 102(S)(MMS) MGD 103(S)(MMS) MGS 103-227(S)(MMS)	MC 102-227	–	–		

• Ciężar i wymiary

Typ	Wymiary w mm					Ciężar w kg		Rura
	A	B	C	D	E	AC	DC	
Sterowany bezpośrednio								
MA 062 MMS	88	88	142	47	6 mm	0.25		6 mm
MA 062S	88	88	142	47	1/4"	0.25		1/4"
MD 062	65	17	57	47	7/16" UNF	0.25		6 mm, 1/4"
MD 062 MMS	111	17	57	47	6 mm	0.25		6 mm
MD 062S	111	17	57	47	1/4"	0.25		1/4"
M(G)D 102MMS	116	19	64	54	6 mm	0.41	0.81	6 mm
M(G)D 102S	116	19	64	54	1/4"	0.41	0.81	1/4"
M(G)D 103	71	19	64	54	5/8" UNF	0.45	0.85	10 mm, 3/8"
M(G)D 103 MMS	116	19	64	54	10 mm	0.44	0.84	10 mm
M(G)D 103 S	116	19	64	54	3/8"	0.44	0.84	3/8"
Sterowany serwo								
M(G)S 103	84	12	79	54	5/8" UNF	0.74	1.14	10 mm, 3/8"
M(G)S 103 MMS	159	12	79	54	10 mm	0.70	1.10	10 mm
M(G)S 103 S	159	12	79	54	3/8"	0.70	1.10	3/8"
M(G)S 104 MMS	159	12	79	54	12 mm	0.70	1.10	12 mm
M(G)S 104 S	159	12	79	54	1/2"	0.70	1.10	1/2"
M(G)S 124	91	12	79	54	3/4" UNF	0.81	1.21	12 mm, 1/2"
M(G)S 124 MMS	159	12	79	54	12 mm	0.71	1.11	12 mm
M(G)S 124 S	159	12	79	54	1/2"	0.71	1.11	1/2"
M(G)S 125 S	159	12	79	54	16 mm, 5/8"	0.71	1.11	16 mm, 5/8"
M(G)S 165	97	12	79	54	7/8" UNF	0.87	1.27	16 mm, 5/8"
M(G)S 165 S	159	12	79	54	16 mm, 5/8"	0.74	1.14	16 mm, 5/8"
M(G)S 167 S	159	12	79	54	22 mm, 7/8"	0.74	1.14	22 mm, 7/8"
MS 227 S	260	22	88	54	22 mm, 7/8"	1.5	1.9	22 mm, 7/8"

Wymiary



Montaż

Należy zwracać uwagę na instrukcję montażu znajdującą się w opakowaniu zaworu!

- Zawór powinien być montowany zgodnie z kierunkiem przepływu czynnika, oznaczonym na korpusie zaworu.
- Przy montażu i demontażu cewki pozostawić wolne miejsce powyżej zaworu - min. 45 mm.
- Zabudowa zaworu dowolna, jednak cewka nie powinna być umieszczana do dołu.
- Zawory do lutowania:
 - odkręcić nakrętkę, zdemontować cewkę wraz z uszczelką,
 - maks. dopuszczalna temp. głowicy zaworu 120 °C,
 - w czasie lutowania płomień kierować od zaworu. Korpus zaworu chłodzić np. wilgotną szmatką.
 - przy ponownym montażu zaworu, po zakończeniu lutowania, umieścić uszczelkę pod cewką, nałożyć cewkę wraz z uszczelką górną.
 - nakrętkę dokręcić max. z momentem 1,5 Nm.

• Zawory do skręcania:

- przy dokręcaniu nakrętek narzutowych na rozkiełkowanych rurach kontrolować kluczem założonym na wpustach zaworu. Nie używać cewki oraz rurki rdzeniowej zaworu jako dźwigni do dokręcania (nie-magnetyczna rurka rdzeniowa jest cienkościenna!).
- przy zastosowaniu cewki 20 Wat DC (prąd stały), w zaworach sterowanych bezpośrednio (M(G)D Typ), należy nakrętkę zewnętrzną tak dokręcić aby krawędź nakrętki była równoległa do dolnej powierzchni bocznej cewki.
W przeciwnym razie nastąpi zmniejszenie efektywnego działania cewki!

Przyłącze elektryczne

- Napięcie znamionowe cewki powinno się zgadzać z napięciem zasilania.
- Wtyk płaski w kostce zasilającej przeznaczony jest do podłączenia przewodu uziemiającego
- Kostkę można dowolnie skręcać o 4 x 90°.
- Przy montażu należy założyć uszczelkę pomiędzy kostką zaciskową a cewką
- W celu uzyskania klasy ochrony IP 65 (szczelność na pył i wilgoć) należy starannie zamontować wszystkie uszczelki oraz śruby mocujące przewód elektryczny
- Przykręcić śrubę mocującą wtyczkę!



Honeywell

AUTOMATYKA CHŁODNICZA Honeywell

“MUCOLD” Feliks Musioł

ul. Wodna 13, 43-450 Ustroń

tel. +48 (33) 854-42-46, +48 (33) 858-74-48

fax +48 (33) 854-58-58

e-mail: info@mucold.com

www.mucold.com